

4. Полученные результаты могут быть использованы в краткосрочном прогнозировании, а также для уточнения физических механизмов особенностей суточных вариаций электронной концентрации области F2 ионосферы.

#### СПИСОК ЛИТЕРАТУРЫ

1. Серебряков Б.Е. // Геомагнетизм и аэрономия. 1983. Т. 23. С. 332.
2. Медникова Н.В. // Физика солнечных коронарных потоков и их воздействие на верхнюю атмосферу Земли. М.: Наука, 1957. С. 183.
3. Захаров И.Г., Тырнов О.Ф. // Геомагнетизм и аэрономия. 1988. Т. 25. С. 850.
4. Лихачев М.А., Васильева Ф.А. // Электродинамика и распространение радиоволн. Томск, 1987. № 6. С. 275.
5. Альперт Я.Л. Распространение электромагнитных волн и ионосфера. М.: Наука, 1972. С. 563.

Харьковский государственный  
университет

Поступила в редакцию  
11.03.91  
После доработки  
12.02.92

ГА, Г-32, 1992

УДК 550.388.2:550.386

© 1992 г. М.Г. Деминов, А.Т. Карпачев, В.В. Афонин,  
Я. Шмидauer

#### ИЗМЕНЕНИЯ ПОЛОЖЕНИЯ ГЛАВНОГО ИОНОСФЕРНОГО ПРОВАЛА В ЗАВИСИМОСТИ ОТ ДОЛГОТЫ И ГЕОМАГНИТНОЙ АКТИВНОСТИ

На основе анализа данных ИСЗ "Космос-900" и "Интеркосмос-19" о положении минимума электронной концентрации главного ионосферного провала  $\Phi_{\text{пп}}$  для ночных зимних условий обнаружено, что характер долготных изменений положения провала слабо зависит от уровня магнитной активности, а амплитуда этих изменений уменьшается с ростом магнитной активности. Представлена аналитическая зависимость (модель)  $\Phi_{\text{пп}}$  от местного времени, долготы, высоты и уровня магнитной активности, которая в линейном приближении отражает основные закономерности изменений  $\Phi_{\text{пп}}$ , выделенные по данным ИСЗ "Интеркосмос-19" и "Космос-900", и не противоречит полученным ранее результатам.

**Введение.** Исследования главного ионосферного провала (ГИП) позволили установить, что инвариантная широта  $\Phi_{\text{пп}}$ , на которой расположен минимум электронной концентрации ГИП, зависит от местного времени  $t$ , отсчитываемого от полуночи и от  $K_p$ -индекса (см., например, [1, 2]). Кроме того, на основе анализа большого массива данных ИСЗ "Космос-900" и "Интеркосмос-19" была дополнительно выделена зависимость  $\Phi_{\text{пп}}$  от географической долготы  $\lambda$  для относительно спокойных условий ( $\bar{K}_p = 2$ ) [3]. Вопрос о зависимости характеристик долготных изменений  $\Phi_{\text{пп}}$  от уровня магнитной активности оставался открытым. Данная работа посвящена приближенному решению этой задачи на основе данных измерений электронной концентрации с ИСЗ "Космос-900" и "Интеркосмос-19".

**Используемые данные.** Для анализа были использованы данные о положении минимума ГИП на высоте максимума F2-слоя  $h_m$ , которое определялось по критической частоте F2-слоя с помощью станций внешнего зондирования на ИСЗ "Интеркосмос-19" и данных о положении минимума ГИП на почти фиксированной (для каждого сеанса измерений) вместе  $h_0 > h_m$ , которое определялось по электронной концентрации с помощью трехэлектродной ионной ловушки с плавающим потенциалом на ИСЗ "Космос-900". Данные, использованные для анализа, относятся в основном к интервалу 20-04LT местной зимы для периода высокой солнечной активности 1978-1980 гг. Для этих условий среднее значение  $h_0 = 460$  и 410 км в области ГИП северного и южного полушарий соответственно, что связано с постепенным уменьшением высоты ИСЗ "Космос-900" от зимы 1978/79 гг. (использованы данные для северного полушария) к лету 1979 г. (использованы данные для южного полушария). Среднее значение  $h_m \approx 350$  км. Не всегда форма ГИП позволяла однозначно определить  $\Phi_{\text{пп}}$ . Для широкого и плоского днища ГИП значение  $\Phi_{\text{пп}}$  определялось по середине днища; при наличии флюктуаций электронной концентрации в области ГИП значение  $\Phi_{\text{пп}}$  определялось по наименьшей величине электронной концентрации в этой об-

ласти. Анализ данных ИСЗ "Интеркосмос-19" дополнительно затруднен наличием  $F$ -рассеяния и большей, чем у "Космос-900", дискретностью данных, поэтому при получении зависимости  $\Phi_{\Pi}$  от  $K_p$  предпочтение отдавалось данным ИСЗ "Космос-900". При получении приведенных ниже уравнений регрессии для  $\Phi_{\Pi}$  использован массив данных  $\Phi_{\Pi}$  для каждого полушария примерно из 120 значений, полученных с помощью ИСЗ "Интеркосмос-19" для  $0 \leq K_p \leq 4$ , и 420 значений, полученных с помощью ИСЗ "Космос-900" для  $0 \leq K_p \leq 8$ , из которых около трети значений соответствовало периоду бури в геомагнитном поле. Все уравнения регрессии для  $\Phi_{\Pi}$  имеют стандартное отклонение около  $2^\circ\Phi$ , поэтому для краткости записи это отклонение не приводится.

Результаты наблюдений. Предположим, что для рассматриваемых условий зависимость  $\Phi_{\Pi}$  от  $K_p$ ,  $t$ ,  $\lambda$  и  $h$  можно представить в виде:

$$\Phi_{\Pi} = \Phi_{\text{по}} - BK_p - 0,5t - \Delta\Phi_{\Pi}(h, \lambda), \quad (1)$$

$$\Delta\Phi_{\Pi}(h, \lambda) = A\Phi_{\Pi}(\lambda) + 2[1 + A\Phi_{\Pi}(\lambda)]\exp[(h_m - h)/H], \quad (2)$$

$$\Phi_{\Pi}^N(\lambda) = 0,5[\cos(2\lambda - 50) - \cos(\lambda + 40)], \quad (3)$$

$$\Phi_{\Pi}^S(\lambda) = \cos(\lambda + 30),$$

где  $h \geq h_m$ ,  $h_m = 350$  км,  $H = 200$  км, индексы N и S соответствуют  $\Phi_{\Pi}(\lambda)$  для северного и южного полушарий соответственно. Здесь и ниже  $\Phi_{\Pi}$  и  $\lambda$  – в градусах,  $t$  – в часах,  $h$  – в км. При  $\Phi_{\text{по}} = 65,2$ ,  $B = 2,1$  и  $\Delta\Phi_{\Pi}(h, \lambda) = 0$  соотношение (1) совпадает с приведенным в [1]. При  $\Phi_{\text{по}} = 65,2$ ,  $B = 2,1$  и  $A = 0,8$  соотношения (2) и (3) являются упрощенной аппроксимацией приведенных в [3] результатов, которые основаны на данных ИСЗ "Космос-900" и "Интеркосмос-19" для относительно спокойных условий ( $\bar{K}_p = 2$ ).

При записи соотношений (2) и (3) предполагается, что  $\Phi_{\Pi}(\lambda)$  не зависит от  $K_p$ , т.е. характер долготных изменений положения минимума главного ионосферного провала сохраняется при переходе от спокойных к возмущенным условиям. Для проверки этого предположения используем относящиеся к южному полушарию данные ИСЗ "Космос-900", для которых  $h = h_0 \approx 410$  км. Примем  $\Phi_{\text{по}} = 65,2$  и  $B = 2,1$  в соответствии с [1] и с помощью соотношения (1) по измеренным  $\Phi_{\Pi}(h_0)$  определим  $\Delta\Phi_{\Pi}(h_0, \lambda)$ . Распределим полученные таким способом значения  $\Delta\Phi_{\Pi}(h_0, \lambda)$  на две группы, которые соответствуют относительно спокойным и возмущенным условиям: около 200 значений при  $0 \leq K_p \leq 3$ , для которых медиана  $\bar{K}_p = 2$ , и около 100 значений при  $3 < K_p < 6$ , для которых медиана  $\bar{K}_p = 4$ . Статистическая обработка этих групп данных приводит к уравнениям регрессии

$$\Delta\Phi_{\Pi}^S(h_0, \lambda, \bar{K}_p = 2) = 1,1 + 2,1\cos(\lambda + 42), \quad (4)$$

$$\Delta\Phi_{\Pi}^S(h_0, \lambda, \bar{K}_p = 4) = 2,4 + 1,6\cos(\lambda + 34).$$

Видно, что характер долготных вариаций сохраняется при изменении уровня магнитной активности, что и было предположено при записи соотношений (2), (3). Из уравнений (4) следует также, что амплитуда долготных изменений, которая в соотношении (2) пропорциональна коэффициенту  $A$ , уменьшается с ростом уровня магнитной активности. Из сравнения коэффициента  $A$  в соотношении (2) от  $K_p$ -индекса:

$$A = 1 - 0,1K_p. \quad (5)$$

Из соотношений (2), (5) следует, что на  $h = h_m$  амплитуда долготных изменений равна  $3(1 - 0,1K_p) \pm 2^\circ\Phi$ , где учтено стандартное отклонение. Этот результат не противоречит данным ИСЗ "Интеркосмос-19" для  $h = h_m$ . Так, для очень спокойных условий долготные изменения  $\Phi_{\Pi}(h_m)$  могут иметь амплитуду вплоть до  $5^\circ\Phi$  для отдельных сеансов наблюдений [4]. При высокой магнитной активности ( $K_p > 6$ ) в период интенсивной бури 3–4 апреля 1979 г. долготные изменения  $\Phi_{\Pi}(h_m)$  не были зафиксированы [5], что также указывает на уменьшение амплитуды долготных изменений  $\Phi_{\Pi}(h_m)$  с ростом уровня магнитной активности.

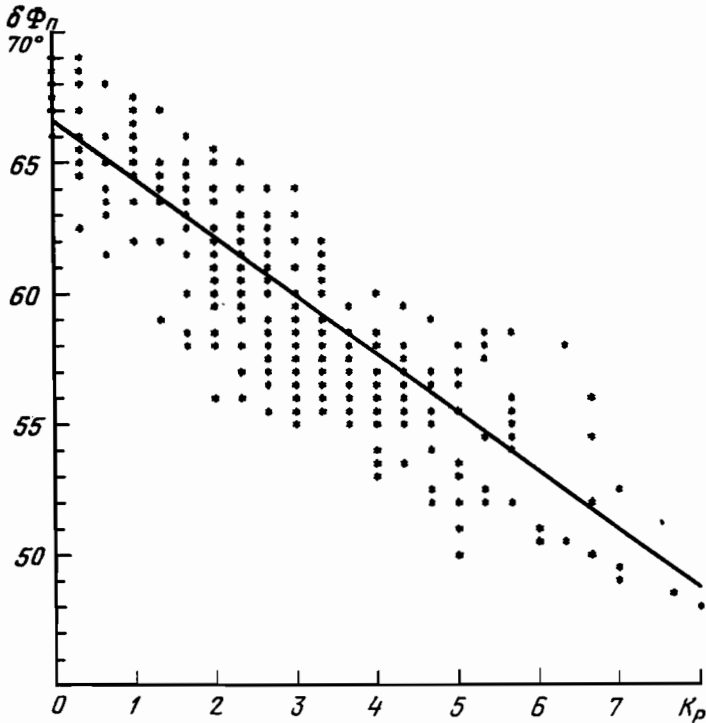
Уточним значения  $\Phi_{\text{по}}$  и  $B$  в соотношении (1). Для этого с помощью соотношений (1)–(3) и (5) по измеренным  $\Phi_{\Pi}(h_0)$  определим величину

$$\delta\Phi_{\Pi} = \Phi_{\Pi}(h_0) + 0,5t + \Delta\Phi_{\Pi}(h_0, \lambda), \quad (6)$$

которая, по предположению, равна  $\Phi_{\text{по}} - BK_p$ . Для определенности воспользуемся данными  $\Phi_{\Pi}(h_0)$  для северного полушария, где  $h_0 = 460$  км. Для уменьшения ошибок, связанных с неточностью задания коэффициента при местном времени  $t$ , выделим данные, которые соответствуют  $-3 < t < 3$ . Полученные таким способом значения  $\delta\Phi_{\Pi}$  при всех наблюдаемых значениях  $K_p$ -индекса приведены на рисунке. Сплошная линия на этом рисунке является линейной аппроксимацией связи  $\delta\Phi_{\Pi}$  с  $K_p$ :  $\delta\Phi_{\Pi} = 66,5 - 2,2K_p$ . Следовательно, в соотношении (1) приближенно

$$\Phi_{\text{по}} = 66,5, \quad B = 2,2. \quad (7)$$

Несмотря на некоторое отличие равенств (7) от использованных выше значений  $\Phi_{\text{по}} = 65,2$  и  $B = 2,1$  по модели [1], разница в определении  $\delta\Phi_{\Pi} = \Phi_{\text{по}} - BK_p$  по этим двум вариантам не превышает



Зависимость модифицированного по уравнению (6) положения минимума главного ионосферного провала  $\delta\Phi_p$  от  $K_p$ -индекса по данным ИСЗ "Космос-900" для северного полушария (точки) и линейная аппроксимация этой зависимости (сплошная линия)

шает стандартного отклонения  $2^\circ\Phi$  во всем диапазоне возможных значений  $K_p$ -индекса. Отметим, что соотношение (1) с учетом (2), (3), (5) и (7) не противоречит зависимостям  $\Phi_p(h_m)$  от  $K_p$ , полученных с помощью наземных ионосферных станций. Например, по данным этих станций, расположенных в северном полушарии вблизи  $\lambda = 130^\circ$ , для околоводуночных часов  $\Phi_p(h_m) = 64 - 2K_p$  [2]. Для тех же условий с помощью соотношений (1) – (3), (5), (7) получим результат  $\Phi_p(h_m) = 64,3 - 2,18K_p$ , который отличается от приведенного в [2] не более чем на  $1,3^\circ\Phi$  во всем диапазоне возможных значений  $K_p$ .

Соотношение (1) с учетом (2), (3), (5), (7) ниже называется аналитической моделью положения минимума электронной концентрации главного ионосферного провала  $\Phi_p$  в линейном приближении, поскольку при фиксированных  $\lambda$  и  $h$  зависимость  $\Phi_p$  от  $K_p$  и  $t$  по этой модели является линейной. Данная модель отражает основные закономерности изменений  $\Phi_p$ , которые были выделены из анализа данных ИСЗ "Интеркосмос-19" и "Космос-900" и не противоречит полученным ранее результатам.

**Обсуждение.** Рассмотрим некоторые следствия аналитической модели  $\Phi_p$  в линейном приближении применительно к околоводуночным часам.

1. Выше примерно 1000 км положение минимума электронной концентрации главного ионосферного провала

$$\Phi_p = 66,5 - 2,2K_p - (1 - 0,1K_p)\Phi_p(\lambda) \quad (8)$$

не зависит от высоты и примыкает к экваториальной границе диффузных высываний авроральных электронов  $\Phi_r$ , если для определения  $\Phi_r$  использовать линейную интерполяцию модели [6] или результат работы [7] для интервала  $-1 \leq t \leq 1$ :  $\Phi_r = 67 - 2K_p$ . По-видимому, слабые долготные изменения  $\Phi_p$  на этих высотах обеспечиваются аналогичными долготными изменениями  $\Phi_r$ , которые не были выделены в [6, 7], поскольку амплитуда этих изменений не превышает стандартного отклонения  $2^\circ\Phi$  для  $\Phi_r$ .

2. Зависимость  $\Phi_p$  от  $K_p$  различна на разных долготах. Эта разница максимальна вблизи  $h = h_m$ :

$$\Phi_p(h_m) = a(\lambda) - b(\lambda)K_p, \quad (9)$$

где  $a(\lambda) = 64,5 - 3\Phi_p(\lambda)$ ,  $b(\lambda) = 2,2 - 0,3\Phi_p(\lambda)$ . Например, для южного полушария  $\Phi_p(h_m) =$

= 61,5 – 1,9K<sub>p</sub> и  $\Phi_{\Pi}(h_m) = 67,5 - 2,5K_p$  на географических долготах 320 и 140°, где  $\Phi_{\Pi}(\lambda) = 1$  и -1 соответственно.

3. При низкой магнитной активности на долготах, где  $\Phi_{\Pi}(\lambda) \approx -1$ , изменение  $\Phi_{\Pi}$  с высотой практически отсутствует во всем интервале  $h > h_m$  на долготах, где  $\Phi_{\Pi}(\lambda) \approx 1$ , изменение  $\Phi_{\Pi}$  с высотой максимально (оно наиболее значительно в интервале  $h_m < h < h_m + H$ ) и разница между  $\Phi_{\Pi}(h_m)$  и  $\Phi_{\Pi}$  ( $h > 1000$  км) достигает 4°Ф при  $K_p = 0$  на этих долготах. С ростом магнитной активности  $\Phi_{\Pi}$  ( $h > 1000$  км) –  $\Phi_{\Pi}(h_m) \approx 2^{\circ}\Phi$  практически независимо от долготы.

Завершая обсуждение, отметим, что данная модель является приближенной и значения коэффициентов модели требуют уточнения даже в линейном приближении. Это видно и из разброса данных на рисунке.

**Выводы.** На основе анализа положения минимума электронной концентрации главного ионосферного провала  $\Phi_{\Pi}$  для ночных зимних условий по данным ИСЗ "Интеркосмос-19" и "Космос-900":

1) обнаружено, что характер долготных изменений  $\Phi_{\Pi}$  слабо зависит от уровня магнитной активности, а амплитуда этих изменений уменьшается с ростом магнитной активности. Поэтому зависимость  $\Phi_{\Pi}$  от  $K_p$  для околоволновых часов оказывается различной на разных долготах;

2) получено, что в околоволновые часы выше примерно 1000 км  $\Phi_{\Pi}$  примыкает к экваториальной границе диффузных высыпаний авроральных электронов практически при любом уровне магнитной активности;

3) представлена аналитическая зависимость (модель)  $\Phi_{\Pi}$  от местного времени, долготы, высоты и уровня магнитной активности, которая в линейном приближении отражает основные закономерности изменений  $\Phi_{\Pi}$ , выделенные по данным ИСЗ, и не противоречат полученным ранее результатам.

#### СПИСОК ЛИТЕРАТУРЫ

1. Köhnlein W., Raitt W.J. Position of the mid-latitude trough in the topside ionosphere as deduced from ESRO-4 observations // Planet. Space Sci. 1977. V. 25. № 516. P. 600–602.
2. Бенькова Н.П., Зикрач Э.К. Главный ионосферный провал по наблюдениям в Якутском регионе // Физические процессы в области главного ионосферного провала. Прага: ГФИ ЧСАН, 1963. С. 7–18.
3. Афонин В.В., Деминов М.Г., Карпацев А.Т. и др. Долготные вариации положения главного ионосферного провала для ночных зимних условий по данным ИСЗ "Космос-900" и "Интеркосмос-19" // Геомагнетизм и аэрономия. 1992. Т. 32. № 2. С. 75.
4. Деминов М.Г., Карпацев А.Т. Долготный эффект в конфигурации главного ионосферного провала. I. Положение провала // Геомагнетизм и аэрономия. 1986. Т. 26. № 1. С. 63–68.
5. Деминов М.Г., Карпацев А.Т., Кушнеровский Ю.В., Шмидлер Я. Структура субавроральной ионосферы в период магнитной бури по данным ИСЗ "Интеркосмос-19" // Геомагнетизм и аэрономия. 1985. Т. 25. № 3. С. 406–410.
6. Вальчук Т.Е., Гальперин Ю.И., Николаенко Л.М. и др. Диффузная авроральная зона. VIII. Экваториальная граница зоны диффузного высыпания авроральных электронов в утреннем секторе // Космич. исслед. 1986. Т. 24. № 6. С. 875–883.
7. Gussenhoven M.S., Hardy D.A., Heinemann N. Systematics of the equatorward diffusive auroral boundary // J. Geophys. Res. 1983. V. 88. № A7. P. 5692–5708.

Институт земного магнетизма, ионосферы  
и распространения радиоволн РАН

Институт космических исследований РАН  
Геофизический институт ЧСАН

Поступила в редакцию  
04.02.92

После доработки  
02.03.92

УДК 551.510.534

© 1992 г. А.М. Звягинцев, А.А. Староватов, А.Д. Данилов

#### ВЫСОТОННОЕ РАСПРЕДЕЛЕНИЕ ОЗОНА НАД ПАМИРОМ

Сопоставление наземных наблюдений общего количества озона в регионе Средней Азии с измерением высотного профиля O<sub>3</sub> с помощью озонозондов подтверждает сделанный ранее вывод об уменьшении  $N(O_3)$  над Памиром и о связи этого уменьшения с динамическими процессами.